

ლექცია 3

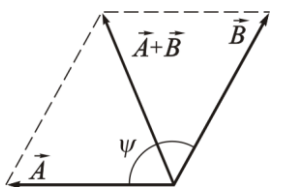
1.4. የጊዜጥቅምናሚሸጥ ስብሰባለዋዎች ተወስኑል

შემოვიტანეთ რა ხაზოვანი სივრცის სტრუქტურა, განვსაზღვრეთ ნორმა და მეტრიკა, ჩვენ, ამის მიუხედავათ მაინც არ შეგვიძლია გამოვთვალოთ ისეთი მახასიათებელი, როგორიცაა კუთხე ორ ვექტორს შორის. ამას შევძლებო, თუ შემოვიტანო მნიშვნელოვან ცნებას – ხაზოვანი სივრცის ელემენტების სკალარულ ნამრავლს

1.4.1 სიბრალების სკალარული ნამრავლი

$$\text{გავიხსენოთ, რომ ჩვეულებრივ სამგანზომილებიან სივრცეში ცნობილია ორი \vec{A} და \vec{B} ვექტორი, მაშინ მათი ჯამის კვადრატის მოდული } |\vec{A} + \vec{B}|^2 = |\vec{A}|^2 + |\vec{B}|^2 + 2(\vec{A} \cdot \vec{B}), \quad (1.18)$$

სადაც $(\vec{A} \cdot \vec{B}) = |\vec{A}| \cdot |\vec{B}| \cos \psi$ - ამ ვექტორების სკალიარული
 $\sqrt{|\vec{A} + \vec{B}|^2}$ ნამრავლია, რომელიც დამოკიდებულია
 მათ შორის ψ კუთხებზე.



ანალოგური მოქმედებით, გამოვთვალოთ ორი և და ს სიგნალის ენერგიების ჯამი

$$E = \int_{-\infty}^{\infty} (u + v)^2 dt = E_u + E_v + 2 \int_{-\infty}^{\infty} u \cdot v dt . \quad (1.19)$$

ნახ. 1.34 სიგნალებიდან განსხვავდით მათი ენერგიები არ არის **ადიტიური** (არ იკრიბება) ვინაიდან ენერგია E შეიცავს დამატებით **ურთიერთ** ენერგიას $E_{uv} = 2 \int u \cdot v dt$.

(1.18) და (1.19) ფორმულების ურთიერთშედარებით, დავადგნოთ u და v ნამდვილი სიგნალების სკალარულ ნამრავლებს:

$$(u, v) = \int_{-\infty}^{\infty} u(t)v(t)dt, \quad (1.20)$$

ხოლო მათ შორის კუთხის კოსინუსი იქნება:

$$\cos \psi = \frac{(u, v)}{\|u\| \cdot \|v\|}. \quad (1.21)$$

სკალარულ ნამრავლს გააჩნია შემდეგი თვისებები:

$$1. \quad (u, v) \geq 0;$$

2. $(u, v) = (v, u)$;
3. $(\lambda u, v) = \lambda(u, v)$, სადაც λ - ნამდვილი რიცხვია;
4. $(u + v, w) = (u, w) + (v, w)$.

ხაზოვან სივრცეს ასეთ სკალარული ნამრავლით უწოდებენ **გილბერტის ნამდვილ H სივრცეს** [დავიდ გილბერტი (1862-1943) გერმანელი მათემატიკოსი].

ჰეშმარიტია ძოში-ბუნიაძოვსაბის ფუნდამეტალური უტოლობა

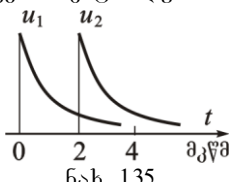
$$|(u, v)| \leq \|u\| \cdot \|v\|. \quad (1.23)$$

თუ სიგნალები იღებენ კომპლექსურ მნიშვნელობებს, მაშინ სკალარული ნამრავლის შემოტანით ქვემოთ მოყვანილი ფორმულით, შესაძლებელია განვიხილოთ კომპლექსური გილბერტის სივრცე:

$$(u, v) = \int_{-\infty}^{\infty} u(t)v^*(t) dt \quad (1.24)$$

ისეთი, რომ $(u, v) = (v, u)^*$.

მაგალითი 1.11. გვაქვს ორი დროში წანაცვლებული ფორმით გესპონძიალური იმპულსი (იხ. ნახ. 1.35):



$$u_1(t) = 5 \cdot \exp(-10^5 t) \sigma(t),$$

$$u_2(t) = 5 \cdot \exp[-10^5 (t - 2 \cdot 10^{-6})] \sigma(t - 2 \cdot 10^{-6}).$$

იპოვეთ მოცემული სიგნალების სკალარული ნამრავლი, და კუთხე ψ მათ შოვის.

ამონა. ამ სიგნალების ენერგიები ერთნაერია:

$$\|u_1\|^2 = \|u_2\|^2 = \int_0^{\infty} (5e^{-10^5 t})^2 dt = 25 \int_0^{\infty} e^{-2 \cdot 10^{10} t} dt = 1.25 \cdot 10^{-4}, \text{ კ}^2 \cdot \text{ვ}\text{ძ}.$$

სკალარული ნამრავლი

$$(u_1, u_2) = 25 \int_0^{\infty} e^{-10^5 t} e^{-10^5 (t - 2 \cdot 10^{-6})} dt = 1.023 \cdot 10^{-4}, \text{ კ}^2 \cdot \text{ვ}\text{ძ}.$$

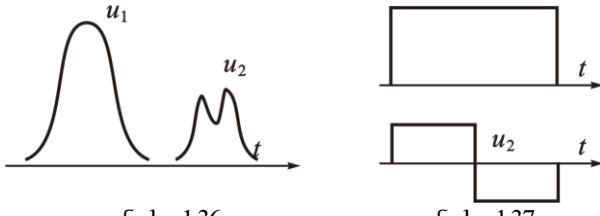
$$\text{აქედან } \cos \psi = \frac{(u_1, u_2)}{\|u_1\| \cdot \|u_2\|} = \frac{1.023 \cdot 10^{-4}}{1.25 \cdot 10^{-4}} = 0.819 \text{ და } \psi = 35^\circ$$

1.4.2. ორტოგონალური სიგნალები და ფურიეს განხოგაღოვანი მფრივები

ორტოგონალობის პრინციპი. ორ სიგნალს უწოდებენ ორტო-
გონალური, თუ მათი **სკალარული ნამრავლი** და **ურთიერთ**

ენერგია უდრის ნულს: $(u, v) = \int_{-\infty}^{\infty} u(t)v(t)dt = 0.$ (1.25)

ასეთი სახის სიგნალების მაგალითებია (იხ. ნახ. 1.36 და 1.37)



ნახ. 1.36

ნახ. 1.37

გთქვათ, H არის **გილბერტის** სიგნალების სივრცე ენერგიის სასრული მნიშვნელობით. ეს სიგნალები განსაზღრულია

დროის სასრულ $[t_1, t_2]$ ან უსასრულო მონაკვეთზე. დაუშვათ,

რომ ამ მონაკვეთზე მოცემულია ფუნქციების $\{u_0, u_1, \dots, u_n\}$ უსა-
სრულო სისტემა, რომლებიც ორთოგანული არიან ერთმანეთის
მიმართ და გააჩნიათ ერთეულოვანი სიდიდის ნორმები, ანუ:

$$(u_i, u_j) = \begin{cases} 1, & \text{თუ } i = j \\ 0, & \text{თუ } i \neq j. \end{cases} \quad (1.26)$$

ამ შემთხვევაში ამბობენ, რომ სიგნალების სივრცეში მოცე-
მულია **ორტონორმირებული პაზისი.**

ნებისმიერი სიგნალი $s(t) \in H$ დავშალოთ რიგად:

$$s(t) = \sum_{i=0}^{\infty} c_i u_i(t). \quad (1.27)$$

(1.27) სახით წარდენას ეწოდება ამორტეულ ბაზისში $s(t)$
სიგნალის **ფურიეს განხოგაღებული მფრივი.**

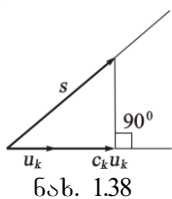
მოცემული მწერივის კოეფიციენტებს პოულობენ შემდეგ
ნაირად. ვიღებთ ბაზისურ ფუნქციას u_k ნებისმიერი k ნომრით,
ვამრავლებოთ მასზე ტოლობის (1.27) ორივე მსარეს, ხოლო
შემდეგ ვაწარმოებთ რეზულტატების ინტეგრირებას დროში:

$$\int_{t_1}^{t_2} s(t) u_k(t) dt = \sum_{i=0}^{\infty} c_i \int_{t_1}^{t_2} u_i u_k dt. \quad (1.28)$$

ვინაიდან (1.28) ტოლობის მარჯვენა მხარე თრგონორმირებული ბაზისია, მაშასადამე რჩება მხოლოდ ჯამის წევრი ნომრით $i = k$, ამიტომ

$$c_k = \int_{t_1}^{t_2} s(t) u_k(t) dt = (s, u_k). \quad (1.29)$$

შესაძლებლობა წარმოვიდგინოთ სიგნალები განზოგადებული ფურიეს მცენივის მეშვეობით არის დიდი პრინციპული მნიშვნელობის ფაქტი. იმის ნაცვლად, რომ გამოვიყდიოთ ფუნქციული დამოკიდებულება წერტილების უსასრულო სიმრავლეში, ჩვენ გვეძლევა საშუალება ამ სიგნალების დახასიათება სასრული (ზოგადად რომ ვთქვათ, უსასრულო) ფურიეს განზოგადოებული მცენივის c_k კოეფიციენტების სიმრავლით.



ნახ. 1.38

გეომეტრიულ ენაზე ფორმულა (1.29) ინტერპრეტაცია ასეთია: ფურიეს განზოგადოებული მცენივის c_k კოეფიციენტები არის ს ვექტორის პროექცია ბაზისურ მიმართულებაზე (იხ. ნახ. 1.38).

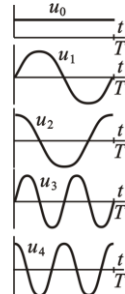
1.4.3. ორტოგონორმირებული განისაზღვრის მაგალითები

განვიხილოთ ურთიერთ ორტოგონალური ფუნქციების სისტემების აგების ყველაზე მნიშვნელოვანი და გავცელებული ორი ხერხი.

1.4.3.1. ჰარმონიული რხევის ორთონორმირებული სისტემა

თვითონ შეგიძლიათ დარწმუნდეთ, რომ $[0, T]$ მონაკვეთზე ტრიგონორმეტრული სისტემა ჯერადი სისშირეებით, მუდმივი სიგნალით დამატებული (იხ. ნახ. 1.39), ქმნიან ორტონორმირ-

$$\begin{aligned} u_0 &= 1/\sqrt{T}, \\ u_1 &= \sqrt{2/T} \sin 2\pi t / T, \\ u_2 &= \sqrt{2/T} \cos 2\pi t / T, \\ &\dots \\ u_{2m-1} &= \sqrt{2/T} \sin 2\pi m t / T, \\ u_{2m} &= \sqrt{2/T} \cos 2\pi m t / T, \\ &\dots \end{aligned}$$



ნახ. 1.39

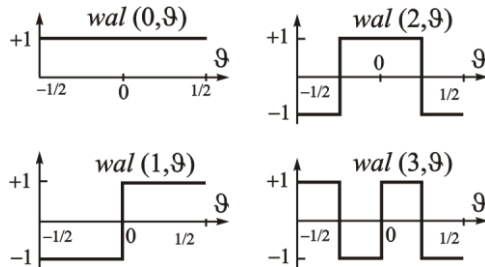
ბულ ბაზის. ამ სისტემით პერიოდული ფუნქციის დაშლა ფურიეს მწკრივად განხილული იქნება მე-2 თავში.

1.4.3.2. უოლშის უზრდისის როტორორმირებული სისტემა

ბოლო დროს დისკრეტული სიგნალების დამუშავების მეთოდების გავლენით დიდი ყურადღება ეთმობა უოლშის ფუნქციების ორთონორმირებულ სისტემას, რომლებიც თავისი არსებობის $[-T/2, T/2]$ ინტერვალში იდებენ მხოლოდ ± 1 მნიშვნელობას. ამიტომ სიგნალები, რომლებიც შეესაბამება ყოლშის ფუნქციებს, მარტივათ გენერირდება მიკროელექტყრონული გადამრთველი სქემებით.

შემოვიტანოთ უზომთ დრო $\theta = t/T$ და, როგორც მიღებულია, ავლნიშნოთ უოლშის k -რი ფუნქცია სიმბოლოთ $wal(k, \theta)$.

მოცემული ფუნქციების ანალიტიკური აღწერა საკმარისად როგორც მაგრამ ამ სისტემის აგების იდეა მარტივად შესაძლებელია დაგინახოთ ნახ. 1.40-ზე რომელზეც გამოხატულია ყოლშის ფუნქციის პირველი რამდენიმე წევრი.



ნახ. 1.40

ცხადია, რომ ნებისმიერი k -რი მნიშვნელობისათვის უოლშის ფუნქციის ნორმირების მნიშვნელობა უდრის 1-ს:

$$\|wal(k, \theta)\|^2 = \int_{-\pi/2}^{\pi/2} wal^2(k, \theta) d\theta = 1$$

ამ ფუნქციების ორთოგონალობა გამომდინარეობს მათი აგების პრინციპიდან და შესაძლებელია უშვალოდ შევამოწმოთ.

მაგალითად:

$$\int_{-1/2}^{1/2} \text{wal}(1, \vartheta) \text{wal}(2, \vartheta) d\vartheta = \int_{-1/2}^{-1/4} (-1)^2 d\vartheta + \int_{-1/4}^0 (-1) \cdot 1 d\vartheta + \\ + \int_0^{1/4} 1^2 d\vartheta + \int_{1/4}^{1/2} 1 \cdot (-1) d\vartheta = 0$$

დროის მონაკვეთზე $[-T/2, T/2]$ მოცემული, ზღვრული ენერგიის მქონე სიგნალის დაშლა ფურიეს განზოგადოებულ რიგში უოლშის ფუნქციების მიხედვით აქვს სახე

$$s(t) = \sum_{k=0}^{\infty} c_k \text{wal}(k, t/T).$$

მაგალითი. იპოვეთ პირველი ორი კოეფიციენტი მართვულთხა სამკუთხედის იმპულსის ფორმის დაშლისას უოლშის ფუნქციების სისტემით.

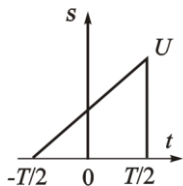
ამოსსნა. დასაშლელი სიგნალი $[-T/2, T/2]$ მონაკვეთზე აღიწერება ფუნქციით $s(t) = U(t/T + 1/2)$ (იხ. ნახ. 141).

გამოვთვალოთ ფურიეს განზოგადოებული მრავილის კოეფიციენტები

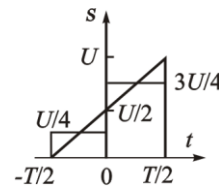
$$c_0 = \int_{-1/2}^{1/2} s(\vartheta) \text{wal}(0, \vartheta) d\vartheta = U \int_{-1/2}^{1/2} (\vartheta + 1/2) d\vartheta = U/2,$$

$$c_1 = \int_{-1/2}^{1/2} s(\vartheta) \text{wal}(1, \vartheta) d\vartheta = -U \int_{-1/2}^0 (\vartheta + 1/2) d\vartheta + U \int_0^{1/2} (\vartheta + 1/2) d\vartheta = U/4.$$

მაშასადამე, მართვულთხა სამკუთხედის ფორმის იმპულსის აპროქსიმაციისას უოლშის ფუნქციათა სისტემის პირველი ორი წევრის გამოყენებით მიიღება (იხ. ნახ. 142) საფეხუროვანი ფორმით მიახლო-



ნახ. 1.41



ნახ. 1.42

ებითი წარმოდგენა. უნდა აღინიშნოს, რომ ზემოთ მოყვანილი ენერგეტიკული ნორმით ასეთი აპროქსიმაცია უკვე არის დამაქმაყოფილი.

ნამდვილად, საწყისი სიგნალის ენერგიაა

$$E_s = U^2 \int_{-1/2}^{1/2} (9 + 1/2)^2 d\vartheta = U^3 / 3,$$

მაშინ როცა სხაობის ენერგია

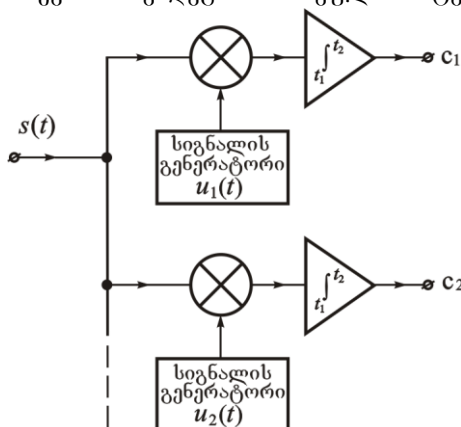
$$\|s(\vartheta) - c_0 wal(0, \vartheta) - c_1 wal(1, \vartheta)\|^2 = 4U^2 \int_0^{1/4} x^2 dx = U^2 / 48$$

შეადგენს მხოლოდ $1/16$, ანუ აპროსიმირებული სიგნალის ენერგიის $6,25\%$.

14.4. სიმაღლეების ორტოგონალური დაშლის აპარატურული მემკვიდრეობა

განვიხილოთ ხელსაწყოს სტრუქტურული სქემა, რომელიც ექსპერიმენტალური გზით ანალოგურ სიგნალს დაშლის ფურიეს განზოგადოებული მწერივად მოცემული ორტონორმირებული ბაზისეური ფუნქციების სისტემის მიმართ (იხ. ნახ. 1.43).

აქ ძირითადი ელემენტებია იმ ბაზისეური ფუნქციების გენერატორები რომლის მიმართ ტარდება დაშლა. გასაანალიზებელი სიგნალი ერთდროულად მიეწოდება გამამრავლებელი რგოლების ერთობრიობას, ამ სიგნალის და შესაბამისი ბაზისეურ ფუნქციებზე გასამარავლებად. მათ გამოსასვლებიდან სიგნალები მიეწოდება შესაბამის ინტეგრატორებს. სიგნალის ასეთი დამუშავების შემდეგ თოთოვეული ინტეგრატორის გამოსასვლელზე



მოთავსებული სრული ინ-

ნახ. 1.43

წარმოვიდგინოთ მართლაც რომ უსასრულო, მაგრამ მაინც სასრული რიცხვების ერთობრიობით.

მოთავსებული დროში უცვლელი დონე, რომლის სიდიდე (1.29) ფორმულის, შესაბამისად, ზუსტად უდრის განზოგადებული ფურიეს მწერივის ამ თუ იმ კოეფიციენტს.

ნახ. 1.43

მოყვანილი სისტემა მნიშვნელოვანია თეორიულ და გამოყენებით თვალსაზრისით. მისი ანალიზის შედეგად ვრწმუნდებით, რომ სიგნალში

ფორმაცია, შესაძლებელია